

## СПИНОВАЯ РЕЛАКСАЦИЯ АТОМОВ ЩЕЛОЧНЫХ МЕТАЛЛОВ НА МОЛЕКУЛЯРНОМ ТЕРМЕ $a^3\Sigma_u^+$

Е. И. Дашевская

Рассмотрен механизм спиновой релаксации при столкновении двух атомов щелочных металлов при их движении по отталкивательному молекулярному терму  $a^3\Sigma_u^+$  с учетом спин-спинового взаимодействия первого порядка и спин-орбитального взаимодействия второго порядка. Основной вклад в деполяризацию дает спин-спиновое взаимодействие, и соответствующие сечения на несколько порядков превышают сечения деполяризации атомных щелочных металлов при столкновениях с атомами инертных газов.

Спиновая релаксация атомов при столкновениях обязана магнитным возмущениям, действующим на спин атома. Конкретный вид этого возмущения зависит от типа терма квазимолекулы, образованной при сближении двух атомов. К настоящему времени наиболее подробно исследована релаксация атомов щелочных металлов М при столкновениях с атомами инертных газов Х [1]. Для основного состояния М ( $^2S$ ) система МХ движется по молекулярному терму  $X^2\Sigma$ , и возмущение, ответственное за релаксацию, соответствует взаимодействию спина с магнитным полем, наведенным вращением молекулы [2, 3]. Это взаимодействие очень слабо, так что сечения дезориентации весьма малы — для пары Rb—He, например, они составляют  $10^{-23}$ — $10^{-24}$  см<sup>2</sup>.

Это спин-вращательное взаимодействие в квазимолекуле МХ аналогично взаимодействию, ответственному за тонкую структуру термов молекул в случае связи  $b$  по Гунду для терма  $^2\Sigma$  [4].

Для триплетных  $\Sigma$ -термов, кроме спин-вращательного взаимодействия, имеется спин-спиновое взаимодействие первого порядка и спин-орбитальное взаимодействие второго порядка. Для квазимолекулярных систем, например, для димера  $M_2$  на отталкивательном триплетном терме  $^3\Sigma$ , это взаимодействие приводит к спиновой релаксации. Интересным проявлением релаксации такого рода может служить уширение линии магнитного резонанса на зеемановских переходах в слабых магнитных полях.

Обычно считается, что спиновая релаксация при столкновениях  $M+M$  обязана спиновому обмену. Сам по себе спиновый обмен в процессе одного столкновения не меняет суммарный спин пары  $M+M$ . Однако сверхтонкое взаимодействие за время между последовательными столкновениями при условии  $\Omega \gg Z$  ( $\Omega$  — частота СТС,  $Z$  — частота спин-обменных столкновений) усредняет недиагональную по квантовым числам  $F, F'$  часть матрицы плотности, что на временах  $t \gg 1/Z$  приводит к релаксации среднего значения спина системы. Эта релаксация спина обуславливает, конечно, уширение линий магнитного резонанса на частоте зеемановского перехода  $\omega$  для заданного квантового числа  $F$ . Это верно, однако, только при  $\omega \gg Z$ . Если же  $\omega \ll Z$ , то происходит явление, аналогичное обменному сужению. На частоте  $\omega_x < \omega$  возникает новый сигнал, причем ширина линии оказывается пропорциональной не  $Z$ , а  $\omega^2/Z$  [6, 7].



В этих условиях на фоне сужения могут проявиться неучтенные ранее механизмы уширения, в частности, релаксация спина М при столкновениях с буферным газом Х или релаксация спина системы М<sub>2</sub> во время ее движения по отталкивательному терму  $a^3 \Sigma_g^+$ .

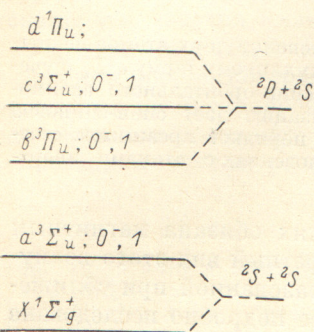
В этой работе обсуждается механизм такой релаксации и оценены сечения дезориентации спина при столкновении атомов щелочных металлов в основном состоянии.

### Деполаризующее взаимодействие V

Спин-гамильтониан, описывающий деполаризацию при движении атомов по  $^3 \Sigma$ -терму, имеет следующий общий вид:

$$V = a(R) SK/2\mu R^2 + [\Gamma(R) + \gamma(R)] (S_n)^2, \quad (1)$$

где S — вектор спина ( $S=1$ ), K — вектор углового момента квазимолекулы, R — расстояние между ядрами,  $\mu$  — приведенная масса атомов, n — единичный вектор молекулярной оси.



Первый член отвечает спин-вращательному взаимодействию. Он аналогичен единственному члену взаимодействия, ответственного за деполаризацию спина атома щелочного металла при столкновениях с атомами инертных газов. Для столкновений М+М вклад этого взаимо-

Относительное расположение низших нечетных (и основного четного) молекулярных термов димера М<sub>2</sub> при R<sub>0</sub>=10 ат. ед.

действия в сечение деполаризации был оценен ранее [8]. Он оказался очень малым, и им в дальнейшем пренебрегается.

Второй член учитывает в первом порядке дипольное взаимодействие спинов и спин-орбитальное взаимодействие во втором порядке. Соответственно этому коэффициенты  $\Gamma(R)$  и  $\gamma(R)$  могут быть рассчитаны как разности энергий компонент тонкой структуры терма  $^3 \Sigma$  невращающейся молекулы для проекций спина на ось  $S_n=1$  и  $S_n=0$ . Таким путем для спин-спинового взаимодействия найдем

$$\Gamma(R) = \frac{3}{2} \frac{e^2 \hbar^2}{(mc)^2} R^{-3} = aR^{-3}. \quad (2)$$

Верхняя оценка для  $\gamma(R)$  дается теорией возмущений второго порядка  $\gamma(R) \leq \gamma_{\max} \approx \Delta \epsilon^2 / \Delta U$ , где  $\Delta \epsilon$  — энергия спин-орбитального взаимодействия в возбужденном состоянии  $^2P$  атома М,  $\Delta U$  — энергия возбуждения этого состояния. Например, для пары Rb—Rb точное расщепление терма  $^2P$  составляет  $10^{-3}$  ат. ед.,  $\Delta U \sim 0.1$  ат. ед., что дает  $\gamma_{\max} \sim 10^{-5}$  ат. ед. Эта величина заметно превышает  $\Gamma(R)$  при  $R_0 \sim 10$  ат. ед. (расстояние наибольшего сближения, см. ниже),  $\Gamma(R_0) \sim 10^{-7}$  ат. ед. Таким образом, без дальнейшей оценки вкладом спин-орбитального взаимодействия пренебречь нельзя.

При расчете  $\gamma(R)$  во втором порядке теории возмущений важно заметить, что матричные элементы спин-орбитального взаимодействия  $V_x$  быстро убывают с увеличением номера возбужденного состояния. Поэтому можно ограничиться лишь вкладом молекулярных термов, коррелирующих при  $R \rightarrow \infty$  с атомными состояниями  $^2P$  и  $^2S$ . Для расчета энергий компонент  $0^-$  (проекция  $S_n=0$ ) и  $1$  (проекция  $S_n=1$ ) тонкой структуры терма  $a^3 \Sigma_n$  необходима информация о термах той же симметрии возбужденных состояний. Относительное расположение этих термов в классификации типа а и с по Гунду показано на рисунке [9]. Поскольку матричные элементы  $V_x$  легко вычисляются в базисе атомных функций,



молекулярные функции  $|\dots\rangle$  удобно представить в виде суммы гайтлер-лондоновских функций  $|\dots\rangle_0$ . Например, координатная функция  $|a^3\Sigma_u^+\rangle$  представляется в виде

$$|a^3\Sigma_u^+\rangle = A|a^3\Sigma_u^+\rangle_0 + C|c^3\Sigma_u^+\rangle + \dots, \quad (3)$$

где коэффициенты  $A$  и  $C$  зависят от  $R$ .

Для вычисления  $\gamma(R)$  необходимо знать матричные элементы  $V_M$  между состояниями  $|b\rangle_0, |c\rangle_0, |d\rangle_0$  в схеме связи  $a$  по Гунду. Они приведены в [10].

$$\left. \begin{aligned} \langle c1 | V_M | b1 \rangle_0 &\equiv \langle c^3\Sigma_u^+, 1 | V_M | b^3\Pi_u, 1 \rangle = \frac{\Delta\varepsilon}{3}, \\ \langle c1 | V_M | d1 \rangle_0 &\equiv \langle c^3\Sigma_u^+, 1 | V_M | d^1\Pi_u, 1 \rangle = \frac{\Delta\varepsilon}{3}, \\ \langle c0^- | V_M | b0^- \rangle_0 &\equiv \langle c^3\Sigma_u^+, 0^- | V_M | b^3\Pi_u, 0^- \rangle = \frac{\sqrt{2}}{3} \Delta\varepsilon. \end{aligned} \right\} \quad (4)$$

Из (3) и (4) находим энергию тонких состояний термина

$$\left. \begin{aligned} U_a(R, \Omega=1) &= U_a(R) - C^2(R) \left[ \frac{\langle c1 | V_M | b1 \rangle^2}{\Delta U_{ba}} + \frac{\langle c1 | V_M | d1 \rangle^2}{\Delta U_{da}} \right], \\ U_a(R, \Omega=0) &= U_a(R) - C^2(R) \frac{\langle c0^- | V_M | b0^- \rangle^2}{\Delta U_{ba}}, \end{aligned} \right\} \quad (5)$$

откуда

$$\gamma(R) = U_a(R, 1) - U_a(R, 0) = \frac{C^2(R)}{9} \left( \frac{1}{\Delta U_{ba}} - \frac{1}{\Delta U_{da}} \right) \Delta\varepsilon^2 = \frac{C^2(R)}{9} \frac{\Delta\varepsilon^2}{\Delta U}. \quad (6)$$

Для тех же величин  $\Delta\varepsilon, \overline{\Delta u}, R_0$ , что и выше,  $\gamma(R)$  и  $\Gamma(R)$  сравниваются при  $C^2(R_0) \sim 10^{-1}$ . Оценка  $C(R)$  в рамках теории возмущений при учете ведущего члена мультипольного взаимодействия дает заметно меньшие величины. Поэтому при расчете сечения деполяризации спин-орбитальным взаимодействием второго порядка ниже пренебрегается.

Матрица рассеяния и сечение деполяризации.

В рассматриваемых условиях  $V$  мало, и матрица рассеяния может быть вычислена по теории возмущений. Удобным представлением для этой цели является экспоненциальное полуклассическое приближение

$$S_{\nu', \nu}(b) = \langle \nu' | \exp\left(-\frac{i}{\hbar} \int_{\mathcal{L}(b)} V dt\right) | \nu \rangle, \quad (7)$$

Здесь  $S_{\nu', \nu}(b)$  — полуклассическая матрица рассеяния в стандартной системе координат (ось  $z$  направлена по сохраняющемуся вектору  $K$ , ось  $x$  — по вектору начальной скорости),  $\nu'$  и  $\nu$  — проекции спина на ось  $z$ ,  $b$  — прицельный параметр и  $L$  — траектория упругого рассеяния на терме  $a^3\Sigma_u^+$ ; интеграл по времени берется вдоль этой траектории.

Для изотропных столкновений вероятность  $P$  и сечение  $\sigma$  деполяризации определяются формулой из [11]

$$\left. \begin{aligned} P(b) &= 1 - \sum_p \begin{pmatrix} 1 & 1 & 1 \\ \nu' - \nu & -\rho\rho \end{pmatrix} \begin{pmatrix} 1 & 1 & 1 \\ \nu - \nu & -\rho\rho \end{pmatrix} S_{\nu', \nu}(b) S_{\nu'+\rho, \nu+\rho}^*(b), \\ \sigma &= 2\pi \int_0^\infty b P(b) db. \end{aligned} \right\} \quad (8)$$

Вычисление (7) с учетом только взаимодействия  $\Gamma(Sn)^2$  дает

$$S = \begin{vmatrix} \exp(i\theta) \cos \Phi & 0 & i \exp(i\theta) \sin \Phi \\ 0 & \exp(-i\Phi) & 0 \\ i \exp(-i\theta) \sin \Phi & 0 & \exp(-i\theta) \cos \Phi \end{vmatrix}, \quad (9)$$



где  $\theta$  — угол отклонения траектории, а  $\bar{\Phi}$  и  $\Phi$  определены интегралами

$$\bar{\Phi} = \int_{\mathcal{L}} \frac{1}{\hbar} \Gamma(R) \cos \Delta\varphi dt, \quad \Phi = \int_{\mathcal{L}} \frac{1}{\hbar} \Gamma(R) dt, \quad (10)$$

причем  $\Delta\varphi$  отсчитывается от направления  $\mathbf{n}$  в точке поворота. Таким образом, с точностью до членов  $\Phi^2$  из (8) получаем

$$P = \bar{\Phi}^2 + \frac{1}{3} \Phi^2. \quad (11)$$

Для вычисления  $P(b)$  и  $\sigma$  использовалась модель жестких шаров с радиусом  $R_0$ , отвечающим расстоянию наибольшего сближения. Эти расстояния определялись из условия равенства потенциала отталкивания тепловой энергии  $kT$ ; сами же потенциалы вычислялись асимптотическим методом [12]. По-видимому, такое приближение удовлетворительно для рассматриваемой задачи, в которой взаимодействие  $V$  меняется очень медленно по сравнению с потенциалом  $U_a$ , определяющим траекторию.

В рамках этой модели сечение деполаризации зависит только от радиуса  $R_0$  и имеет вид

$$\sigma = \frac{4\pi a^2}{\hbar^2 v^2 R_0^2} B, \quad B = 1, 4. \quad (12)$$

Здесь численная константа  $B$  возникает при интегрировании вероятности по прицельным параметрам в области свободного пролета (при  $b \geq R_0$ ) и в области зеркального отражения траектории от жесткого остова (при  $0 < b < R_0$ ). Вследствие дальнедействующего характера диполь-дипольного взаимодействия первая область дает приблизительно вдвое больший вклад в сечение.

Усредненное по тепловому распределению сечение равно

$$\bar{\sigma} = \frac{2\pi a^2 v}{\hbar^2 k T R_0^2} B. \quad (13)$$

Для пар Na—Na, K—K, Rb—Rb и Cs—Cs радиус  $R_0$  возрастает в интервале от 9 до  $12.2 a_0$ , а приведенная масса — от  $2.3 \cdot 10^4$  до  $12.2 \times 10^4$  ат. ед. Соответственно этому средние сечения деполаризации при  $kT = 10^{-3}$  ат. ед ( $T = 316$  К) возрастают от 0.4 до  $1.3 \cdot 10^{-18}$  см<sup>2</sup>. Заметим, что сечение деполаризации за счет спин-орбитального взаимодействия второго порядка, максимальное для столкновений Cs—Cs, составляет величину порядка  $10^{-19}$  см<sup>2</sup>. Это значение получено на основании формул типа (10) и (11), где вместо  $\Gamma$  подставлено  $\gamma$  из (8) при расчете  $C$  в рамках теории возмущений второго порядка.

Сечения деполаризации спина димеров щелочных металлов при их движении по отталкивательному терму  $a^3 \Sigma_u^+$  составляют при комнатной температуре величины порядка  $10^{-18}$  см<sup>2</sup>. Это на несколько порядков превышает сечения деполаризации атомов щелочных металлов при столкновениях с атомами инертных газов. Отсюда следует, что в типичных условиях обменного сужения линии магнитного резонанса при концентрациях  $[M] \sim 10^{13} - 10^{14}$  см<sup>-3</sup> и  $[X] \sim 10^{19}$  см<sup>-3</sup> и [7] деполаризация спина при столкновениях  $M+M$  может давать вклад в ширину линии наряду с процессами деполаризации при столкновениях  $M+X$ .

Совсем недавно [13] экспериментально наблюдалось разрушение спина поляризованных паров Cs в результате деполаризации при столкновениях. Измеренные скорости деполаризации приблизительно отвечают приведенным выше оценкам сечений. Более строгое сопоставление теории с экспериментом должно основываться на анализе кинетических уравнений, учитывающих влияние сверхтонкой структуры на эволюцию среднего спина за время между столкновениями.



## Литература

- [1] W. E. Baylis. In: Progress in Atomic Spectroscopy, part B, p. 318, ed. W. Hanle and H. Kleinpoppen, Plenum, 1979.
- [2] R. Herman. Phys. Rev., *137*, A1064, 1965.
- [3] Е. И. Дашевская, Е. А. Кобзева. Опт. и спектр., *30*, 807, 1971.
- [4] Л. Д. Ландау, Е. М. Лифшиц. Квантовая механика. Нерелятивистская теория. Физматгиз, М., 1963.
- [5] F. Grossetête. J. Phys. (Paris), *29*, 496, 1968.
- [6] W. Harper, A. C. Tam. Phys. Rev., *A16*, 1877, 1977.
- [7] W. Harper, H. Y. Tang. U. S. Patent 4.005.355. Jan. 25, 1977.
- [8] Е. И. Дашевская, Е. А. Кобзева. В сб.: Сенсibilизированная флуоресценция смесей паров металлов, 68. Изд. Латв. Гос. Унив., Рига, 1979.
- [9] D. K. Watson, C. J. Gerjan, S. Guberman, A. Dalgarno. Chem. Phys. Lett., *50*, 181, 1977.
- [10] Е. И. Дашевская, Е. Е. Nikitin, А. И. Voronin, А. А. Zembekov. Canad. J. Phys., *48*, 992, 1970.
- [11] М. И. Дьяконов, В. И. Перель. ЖЭТФ, *48*, 354, 1965.
- [12] Б. М. Смирнов. Асимптотические методы в теории атомных столкновений. Атомиздат, М., 1973.
- [13] N. D. Bhaskar, J. Pietras, J. Samrao, W. Harper. Phys. Rev. Lett., *44*, 930, 1980.

Поступило в Редакцию 18 марта 1980 г.